

京都大学 工学部 正会員 清水義彦
東京工業大学 工学部 正会員 福岡捷二

1. はじめに 河床形状が横断的に変化する流路では横断方向の主流速差によつて流体間にセン断力が作用する。しかし一般にその評価が難しいために、これを取り入れた平面二次元浅水流解析は現在のところなされていない。本研究では交互砂州河床形状の主要構成モードの1つである cosine型河床形状(カマボコ形状)上の流れと河床セン断力を実験的に求めて評価し、流体間に作用するセン断力を水平混合の形で浅水流方程式に導入して交互砂州上の流速解や掃流力分布の精度を向上させる。

2. 実験方法 水路幅 20 cm, 縦断長さ 5 m の長方形断面の直線水路内に、平均粒径 0.067 cm の砂を均一に敷きつめる。次に木製のコテを用いて流路中央に開いて対称な波長 16 cm, 振幅 0.5 cm の cosine 形を砂面に作り、アクリル製ボンドとトルエンの混合液を砂面にかけて固定化する。実験条件は河床勾配 1/100, 流量 1.37 l/sec, 平均水深 1.07 cm, 平均流速 6.97 cm/sec である。流速の測定にはピトー管流速計を用い、河床セン断力の算定はプレストン法を粗面について適用した Hwang & Lau-rasen の方法を用いた。

3. 主流速および底面セン断力の横断分布

図 2 のロ印は実測の水深方向に平均化された主流速の横断分布である。河床形状の影響を受けて河床高さの高い流路中央付近ほど流速は小さく、河床高さの低い側岸部付近では流速は大きくなる。図 3 のロ印はプレストン法より算定した河床セン断力の横断分布である。水深の浅い流路中央付近では河床セン断力は小さく、流速の横断分布形と同様な分布形となる。図 2, 図 3 の・印は各地点の局所水深より計算される $\rho g h_i \cos \theta_i$ (i : 河床横断勾配, θ_i : 河床横断勾配角) がその地点の河床セン断力に等しいとした流体間に働くセン断力を考慮しない浅水流解析による分布である。流体間に働くセン断力を考慮しない場合では、流速の横断方向の変動中で実測のものよりも過剰に評価することになり、流体間に作用するセン断力による流れの平滑化機構を浅水流解析にとり入れる必要があることを示している。そこで実測の主流速の横断分布を用いて流体間のセン断効果を水平混合係数として見積ることを検討する。

4. 水平混合係数の見積り

図 4 に示すように水柱をエントロールボリュームとして、これに作用する力の釣り合ひを考えると式(1)を得る。流体間に働くセン断力を式(2)のように横断方向の速度勾配と水深の積

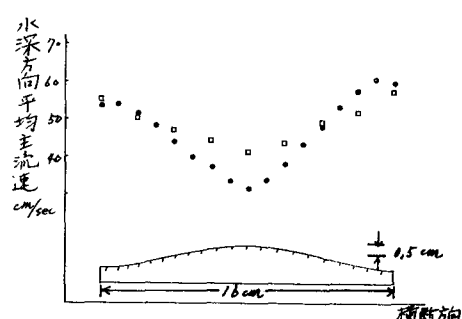
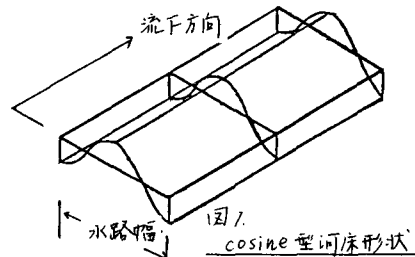


図 2 主流速の横断分布

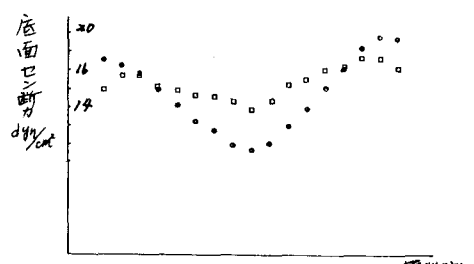


図 3 底面セン断力の横断分布

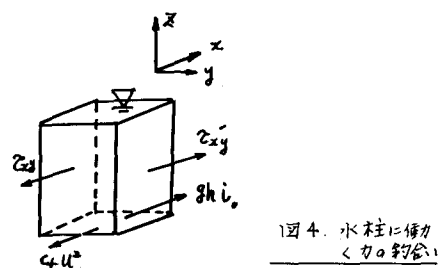


図 4. 水柱に働く
(カロ釣合)

に比例するとして、水平混合係数 c_f を定義する。次に水深方向平均流速 U_0 及び局所水深 h を平坦河床時の流速 U_0 、平均水深 h_0 及びそれからの変動量 h' 、 h に分割し式(1)、式(2)に代入する。cosine 型河床形状式(4)のまことに変動流速成分 U' を式(5)のように展開し、式(1)、式(2)より線形変動流速解を求めるヒ式(7)の形を得る。一方実験より得られた主流速の横断分布を式(8)で近似すれば、その振幅を用いて U_{120} から α が算定される。本実験では摩擦係数 $c_f = 0.66 \times 10^{-2}$ 、 $l = 0.269$ のまことに水平混合係数 ε_y は

$$\varepsilon_y = 0.174 U_* h$$

となり、対数則を用いた鉛直混合係数 $\varepsilon_z = x/h \cdot U_* h$ のほぼ 3 倍程度の値となる。そこで次にこの程度の水平混合効果を考慮して交互砂州上での流速解を算定する。

5. 水平混合効果を考慮した交互砂州上の変動流速解

交互砂州河床形状として代表的な 2 モードから構成される式(9)を採用する。縦断方向の水流の運動方程式に水平混合効果を導入した浅水流基礎式は式(10)～式(12)となる。ここで未知量は式(3)と同様に平坦河床時のものとそれからの変動量に分け、変動量に関する線形化して解くと図 5 の流速ベクトル図、図 6 の平均値からの変動流速ベクトル図を得る。水平混合を考慮した場合は、これを考慮しない場合に比べて変動流速の横断変化が緩和されるが、このことは交互砂州形状のオ 1 モード ($\zeta_1 = a_{11} \sin kY \cos(kX - \phi)$) による流速解よりもオ 2 モード ($\zeta_2 = a_{20} \cos kZ Y$) による流速解に強く現われてあり、オ 1 モードのように縦断方向に周期的に変化する河床形状上の流れにおいては水平混合の効果は小さいようである。従って交互砂州上の流速分布や掃流力分布を把握する上でもオ 2 モード(カマボコ形)に起因する水平混合効果をいかに見積もるかが重要である。次に水平混合を考慮した流れの非線形解を用いて交互砂州波高の平衡波高の解析を行った。山坂が指摘しているようにオ 2 モードに起因する流速解はオ 1 モードの波高 a_{11} の発達に寄与するため、水平混合効果を考慮せ得えない流れの解析における

それは波高 a_{11} の発達作用を過剰に評価してしまう。従って水平混合を導入により適切な流速解を用いることによってこの問題は解消される。しかし波高の安定化に重要な役割を果たす非線形変動流速も同時に小さくなるため解析的に得られる平衡波高の範囲をより広げることにはまだ向かなかった。平衡波高の範囲を広げるには、波高の発達を抑制する作用と精度よく見積もることが不可欠であるが、今後はより点を水平混合を考慮した流速解やそれにとどまらず掃流力分布を用いて検討していくたい。

(参考文献) 1) Li-San Hwang & E.M. Laursen; Proc. SCE, Mar 1963 2) 山坂・福岡; 河床形状・流れ・流砂量間の非線形関係を考慮した交互砂州の平衡波高の理論(稿稿)

水柱に作用する 3 力の釣り合い

$$g h i_0 - c_f U^2 + \frac{\partial}{\rho g} \int_0^h \tau_{xy} dz = 0 \quad (1)$$

c_f : 摩擦係数

τ_{xy} : 水柱の側面に働くせん断力

$$\int_0^h \tau_{xy} dz = \rho \varepsilon_y \frac{du}{dy} \cdot h \quad (2)$$

ε_y : 水平混合係数 $\alpha U_* h$ とく

α : const, U_* : 摩擦速度

$$u = u_0 + u', \quad h = h_0 + h' \quad (3)$$

$$\varepsilon_y = \alpha c_f U_* h_0 (1 + U/U_0) (1 + \zeta/h_0) \quad (4)$$

$$\zeta/h_0 = - a_{20} \cos kZ Y \quad \lambda = \frac{\pi h_0}{B} \quad Y = \frac{y}{h_0} \quad (4)$$

$$U/U_0 = a_{20} U_* + a_{20} U'_* + \dots \quad (5)$$

a_{20} が 0 次の order

$$c_f = \sqrt{F_r} \quad (6)$$

a_{20} が 1 次の order

$$\begin{aligned} U'/U_0 &= U_{120} a_{20} \cos kZ Y \\ U_{120} &= - \frac{1}{Z + \frac{4\alpha l^2}{\sqrt{c_f}}} \end{aligned} \quad (7)$$

$$\text{実験値 } U'/U_0 = - 0.379 \cos kZ Y \quad (8)$$

交互砂州形状

$$\zeta/h_0 = \zeta_1 + \zeta_2 = a_{11} \sin kY \cos(kX - \phi) - a_{20} \cos kZ Y \quad (9)$$

水平混合を考慮した浅水流方程式

$$U \frac{\partial U}{\partial X} + V \frac{\partial U}{\partial Y} = g (h_0 - \zeta_2 (h - \zeta)) - \frac{\tau_x}{\rho h} + \frac{\varepsilon_y}{h} \frac{\partial}{\partial Y} (h \frac{\partial U}{\partial Y}) \quad (10)$$

$$U \frac{\partial V}{\partial X} + V \frac{\partial V}{\partial Y} = - g \frac{\partial}{\partial Y} (h - \zeta) - \frac{\tau_y}{\rho h} \quad (11)$$

$$\frac{\partial}{\partial X} (h u) + \frac{\partial}{\partial Y} (h v) = 0 \quad (12)$$



図 5. 交互砂州上の流速ベクトル

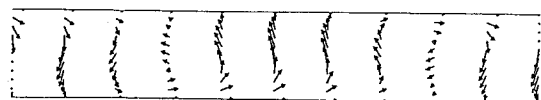


図 6. 交互砂州上の変動流速ベクトル